

## 第 II 部門 コロケート格子配置における内挿計算スキームに関する考察

京都大学大学院工学研究科

正会員

牛島 省

京都大学大学院工学研究科

フェロー

福津 家久

京都大学大学院工学研究科修士課程

学生員

○竹村 雅樹

### 1. はじめに

本研究では、MAC 系解法を用いる場合を対象として、コロケート格子配置で使用される内挿計算スキームに関する考察を行う。MAC 系解法における流速予測段階での圧力項の取り扱い方の違い、および流速修正段階での修正法の違いを比較する。また実際に、2 次元場におけるキャビティーフローの計算を行い、その計算結果に基づいてスキームの特性や解法に関する特徴を明らかにした。

### 2. 数値解法

MAC 系解法を用いる場合には、圧力は陰的に扱われる。簡単のため、Navier-Stokes 式を基礎式とし、その離散化を考える。時間方向にのみ離散化した基礎式は次のようにになる。

$$u^{n+1} = u^n - \frac{\Delta t}{\rho} \frac{\partial p^{n+1}}{\partial x} + CD^n \Delta t \quad (1)$$

ここで、上添字  $n$  は時間ステップを表す。 $CD$  は移流項と拡散項を含む項であり、1 次元のコロケート格子配置では、通常セル中心で評価される。式(1)では、簡単のため  $CD$  には Euler 陽解法を用いた。

$p^{n+1}$  は未知であるから、 $p^n$  を用いて次式により流速を予測する。

$$u_c^* = u_c^n - \frac{\Delta t}{\rho} \frac{\partial p^n}{\partial x} + CD^n \Delta t \quad (2)$$

ここで、下添字  $c$  はセル中心の値であることを表す。また、セル境界では下添字  $b$  を用いる。式(2)のように、セル中心で圧力を利用する方法をスキーム A とする。すなわち、スキーム A では次式によりセル境界における流速が計算されることになる。

$$u_{b,j}^* = \frac{u_{c,j+1}^n + u_{c,j}^n}{2} + \frac{CD_{j+1}^n + CD_j^n}{2} \Delta t - \frac{\Delta t}{2\rho} \left( \frac{p_{j+2}^n - p_j^n + p_{j+1}^n - p_{j-1}^n}{2\Delta x} \right) \quad (3)$$

下添字  $j$  は、格子点番号を表す。この流速の予測値  $u_{b,j}^*$  を用いて、 $u_{b,j}^{n+1}$  を次のように表すことができる。

$$u_{b,j}^{n+1} = u_{b,j}^* - \frac{\Delta t}{\rho} \frac{\phi_{j+1} - \phi_j}{\Delta x} \quad (4)$$

ここに、 $\phi = p^{n+1} - p^n$  である。式(4)は次の連続式を満たさなくてはならない。

$$\frac{u_{b,j}^{n+1} - u_{b,j-1}^{n+1}}{\Delta x} = 0 \quad (5)$$

よって、式(4)を式(5)に代入すると次式が得られる。

$$\frac{\phi_{j+1} - 2\phi_j + \phi_{j-1}}{\Delta x^2} = \frac{\rho}{\Delta t} \left( \frac{u_{c,j+1}^n - u_{c,j-1}^n}{2\Delta x} + \frac{CD_{j+1}^n - CD_{j-1}^n}{2\Delta x} \Delta t \right) - \frac{p_{j+2}^n - 2p_j^n + p_{j-2}^n}{4\Delta x^2} \quad (6)$$

次に、 $u_c^{n+1}$  を求める修正段階においては、式(6)により計算された  $\phi$  を用いて  $p^{n+1}$  を計算し、式(1)から計算する方法(PG 法と表記)と、式(4)により計算された  $u_{b,j}^{n+1}$  を空間内挿して計算する方法(SI 法と表記)が考えられる。

以上のスキーム A に対し、圧力をセル中心でなく、セル境界で評価する方法<sup>1)</sup>をスキーム B とする。すなわち、スキーム B では  $u_c^* = u_c^n + CD^n \Delta t$  によりセル中心での流速の予測値が求められ、これよりセル境界において次式により予測値  $\hat{u}_b$  が計算される。

$$\hat{u}_b = u_b^* - \frac{\Delta t}{\rho} \frac{\partial p^n}{\partial x} \quad (7)$$

したがって、スキーム A の式(3)に対して、スキーム B では次式によりセル境界での流速が計算される。

$$\hat{u}_{b,j} = \frac{u_{c,j+1}^n + u_{c,j}^n}{2} + \frac{CD_{j+1}^n + CD_j^n}{2} \Delta t - \frac{\Delta t}{\rho} \frac{p_{j+1}^n - p_j^n}{\Delta x} \quad (8)$$

スキーム A と同様に  $u_{b,j}^{n+1}$  を計算し、式(5)に代入すると次式が得られる。

$$\frac{\phi_{j+1} - 2\phi_j + \phi_{j-1}}{\Delta x^2} = \frac{\rho}{\Delta t} \left( \frac{u_{c,j+1}^n - u_{c,j-1}^n}{2\Delta x} + \frac{CD_{j+1}^n - CD_{j-1}^n}{2\Delta x} \Delta t \right) - \frac{p_{j+1}^n - 2p_j^n + p_{j-1}^n}{\Delta x^2} \quad (9)$$

式(6)と式(9)を比較すると、スキーム A では  $p^n$  の 2 階微分がセル幅  $2\Delta x$  中央差分で表現されるのに対し、スキーム B ではセル幅  $\Delta x$  で評価される。 $n$  ステップ目のセル中心流速を  $n+1$  ステップ目のセル中心流速に修正する方法としては、スキーム A と同様に PG 法と SI 法が考えられる。

### 3. 計算結果

図 1 から図 4 は、Ghia<sup>2)</sup> により計算された高精度の解と、今回の計算による解との比較である。 $11 \times 11$  の粗い格子ではスキーム A よりスキーム B の方が若干 Ghia の結果に近いことがわかる。これは式(6)と式(9)を比べると、用いる変数の範囲がスキーム B の方がコンパクトであり、これによりスキーム B の方がより精度の高い計算ができたと考えられる。しかし、セル数を  $25 \times 25$  と細かくすることにより、スキーム A でもスキーム B と同じ程度の精度の計算ができる。これは、用いる変数の使用範囲が広いことに対するスキーム A の欠点が、格子分割を細かくすることで補われた結果だと考えられる。また、SI 法は PG 法に比べて大きく精度が低下した。これは、SI 法は PG 法より広範囲の変数を使用するので、数値解が平滑化されてしまい精度が低下したためと考えられ、図 5 と図 6 を比較してもその様子が確認できる。

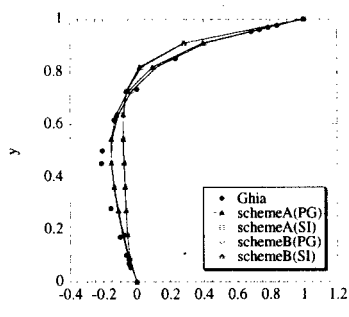


図 1  $u$  の Ghia の結果との比較  
( $Re = 100$ , セル数  $11 \times 11$ )

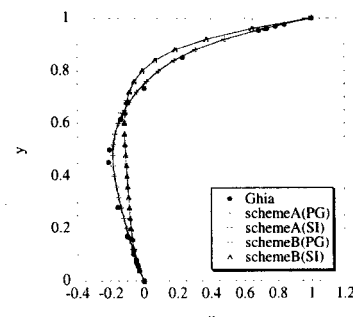


図 2  $u$  の Ghia の結果との比較  
( $Re = 100$ , セル数  $25 \times 25$ )

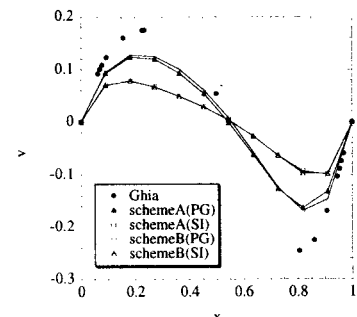


図 3  $v$  の Ghia の結果との比較  
( $Re = 100$ , セル数  $11 \times 11$ )

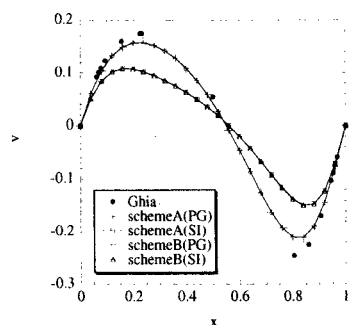


図 4  $v$  の Ghia の結果との比較  
( $Re = 100$ , セル数  $25 \times 25$ )

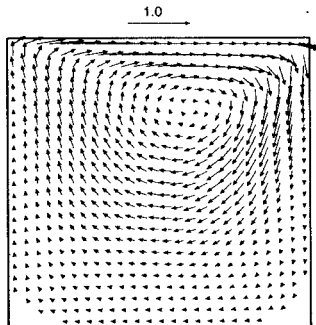


図 5 流速ベクトル図 (PG 法)

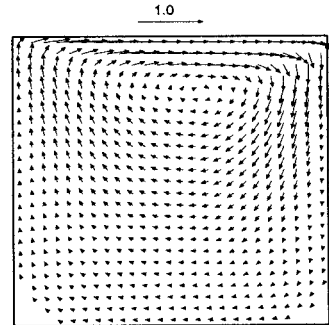


図 6 流速ベクトル図 (SI 法)

### 4. おわりに

スキーム A, B 間の精度差は比較的わずかであったが、予測段階にスキーム B、修正段階に PG 法を用いるのが適切である。今後は自由水面流れなどを対象として考察を進める予定である。

### 参考文献

- 1) 牛島省、福津家久. QSI スキームを用いた流体解析法の適用性について. 応用力学論文集, Vol. 4, pp. 95–102, 2001.
- 2) U. Ghia, K. N. Ghia, and C. T. Shin. High-Re solutions for incompressible flow using the Navier-Stokes equations and a multigrid method. *J. Comput. Phys.*, Vol. 48, pp. 387–411, 1982.